



0504IBFF

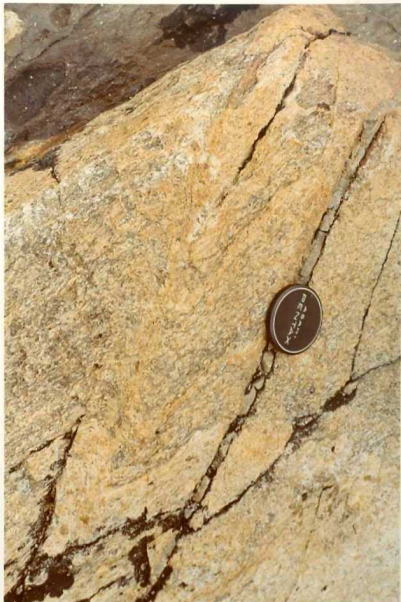
Estación 105

Plegamiento de 2ª Fase en el Ortoneis de Pta.

Langosteira ($\frac{b}{NG} \gamma^1$).



0504IBFF Detalle de los pliegues definidos por esquistos
Estación 106 (ξ) y Ortoneises ($\frac{b}{NG} \gamma^1$).



05041BFF Plegamiento póstumo tipo Kink en el
Estación 107 Ortoneis de Pta. Langosteira ($\frac{b}{NG} \gamma^1$)
con refracción de la 2^a esquistosidad.



0504IBFF Otro aspecto de los pliegues desarrollados en Orto-
Estación 108 neises ($\begin{smallmatrix} b \\ NG \end{smallmatrix} \gamma^1$) y en Esquistos (ξ).



0504IBFF

Estación 48

Bandas pegmatíticas (FP) en el Ortoneis de Pta.

Langosteira ($\frac{b}{N_G} \gamma^1$), ambas deformadas.



0504IBFF *Terminación periclinal de un mesopliegue*
Estación 65 *en las bandas de Ortoneises (γ^1) y*
Esquistos (ξ) con claro desarrollo de la
2^a esquistosidad.



0504IBFF
Estación 47

*Detalle de la deformación de las pegmatitas de
Pta. Langosteira (FP)*



0504IBFF
Estación 66

*Desarrollo de pliegues de 2^a Fase en bandas
graníticas y esquistosas*



0504IBFF
Estación 67

Ortoneis de Pta. Langosteira ($b_{NG} \gamma^1$) con metabasitas y metagrauwacas de aspecto glandular afectadas por fracturas tardías.



05041BVM Pliegues de 2^a Fase con desarrollo de esquistosidad
Estación 102 de fractura (S₂)



05041BVM Mesopliegues de 2^a Fase en las metapsamitas
Estación 103 de Ordenes.



05041BVM

Estación 105

Penetración del leucogranito ($x \gamma_{bm}^2$) en la granodiorita precoz ($x \gamma \eta^2$)



0504IBVM

Estación 106

Alternancias rítmicas de metapsamitas y metapelitas de la Serie de Ordenes. Serie normal, con desarrollo de "Load Cast"



05041BVM *Aspecto de las Series rítmicas de Ordenes con desa-
Estación 39 rrollo de "graded bedding" positivo.*



05041BVM Enclave de granodiorita precoz ($x \gamma \eta^2$) en
Estación 47 leucogranito ($x \gamma_{bm}^2$).



05041BVM Detalle de bandas leucograníticas ($x \gamma_{bm}^2$) con
Estación 48 enclaves de granodiorita precoz ($x \gamma \eta^2$).